

# بکارگیری الگوریتم طراحی سریع در مبدل‌های قاب و صفحه‌ای و توسعه شاخصی برای انتخاب سطح بهینه



● محمدرضا جعفری نصر<sup>۱\*</sup> و مهسا سعیدان<sup>۲</sup>

۱- شرکت پژوهش و فناوری پتروشیمی

۲- دانشگاه آزاد اسلامی واحد علوم تحقیقات تهران

m.jafarinrasr@ npc-rt.ir

واژه‌های کلیدی: مبدل‌های قاب و صفحه، شاخص

عملکردی، الگوریتم طراحی سریع

## چکیده

مبدل‌های قاب و صفحه‌ای در اکثر صنایع به ویژه در صنایع غذائی و لبندی کاربرد گسترده‌ای یافته‌اند. با توجه به محدوده وسیع به کارگیری مبدل‌های حرارتی در افت فشارهای گوناگون و میزان انتقال حرارت‌های مختلف، دست‌یابی به شاخص‌های عملکردی در مبدل‌های قاب و صفحه‌ای امکان مقایسه ساده‌تر و عملی‌تری را برای مهندسین فراهم می‌آورد. اگر چه تاکنون شاخص‌های متعددی ارائه شده است ولی در این مقاله با در نظر گرفتن کلیه مقاومت‌ها در مبدل‌های نام برد، شاخص جدیدی با نام HTI معرفی گردیده که در آن تاثیر سایر مقاومت‌های حرارتی در میزان انتقال حرارت نیز برآورد شده است. همچنین الگوریتم طراحی سریع<sup>۱</sup> برای طراحی سریع و بدون نیاز به حدس و خطأ در مبدل‌های صفحه‌ای ارائه شده است. در این روش با توجه به این که حداقل افت فشار در نظر گرفته می‌شود، سطح محاسبه شده بهینه‌تر از دیگر روش‌های متدائل در طراحی خواهد بود. به طوری که استفاده از این روش نقش عمده‌ای در کاهش هزینه‌های سرمایه‌گذاری در برخواهد داشت.

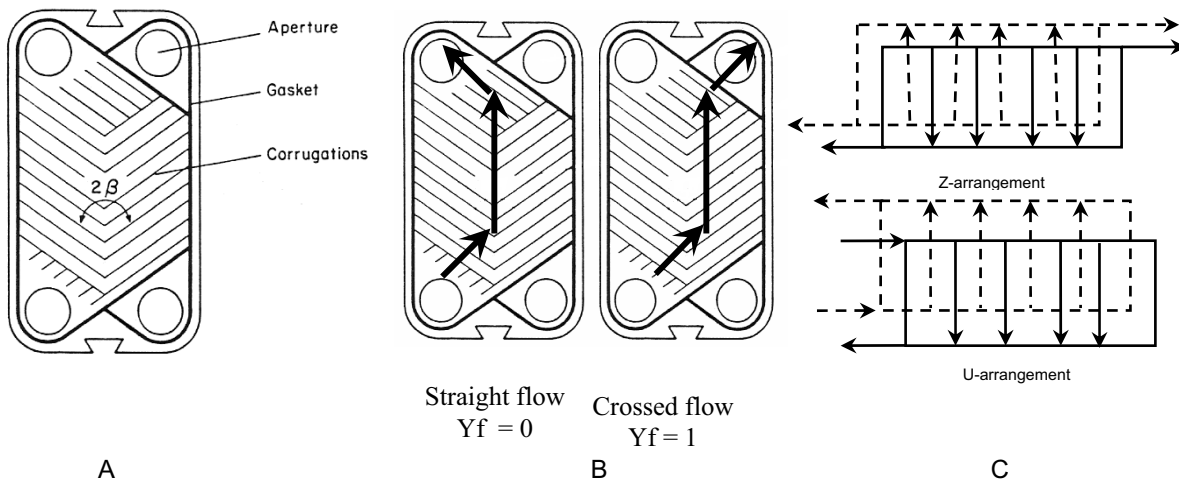
**مقدمه**

مبدل‌های قاب و صفحه‌ای<sup>۲</sup> از تعدادی صفحات فلزی موج دار تشکیل شده‌اند که در یک قاب در کنار هم چیده می‌شوند. هر صفحه دارای چهار حفره در گوشهاست که به صورت جفت جفت عبور سیال در دو سوی صفحه را میسر می‌سازند. برای جلوگیری از توزیع نامناسب سیال، پیشنهاد شده است نسبت طول صفحه مبدل به عرض آن بزرگ‌تر یا مساوی  $1/8$  بوده و ضخامت صفحات بین  $0.5-1.2$  میلی‌متر ( $0.05-0.2$  میلی‌متر) (حدود  $0.02-0.05$  اینچ)، فاصله بین شکاف‌ها  $2-5$  میلی‌متر ( $0.08-0.2$  اینچ) و قطر معادل برای کانال جریان  $4-10$  میلی‌متر ( $0.15-0.4$  اینچ) در نظر گرفته شود. برای افزایش ضرایب انتقال حرارت، شیارهایی روی صفحات نصب می‌شود تا به‌واسطه تغییر پیوسته جهت و سرعت جریان، ایجاد آشفتگی نماید. همچنین می‌توان با قرار دادن صفحات در خلاف جهت هم، نقاط تماس را نیز بیشتر کرد. زاویه بین این شیارها زاویه چورون<sup>۳</sup> نام دارد (شکل ۱(a)). جریان سیال درون صفحات و بین دهانه‌ها می‌تواند به صورت

2. Plate Heat Exchangers (PHE)

3. Chevron Angle

1. Rapid Design Algorithm (RDA)



شکل ۱- a: زاویه چورون، b: جریان مورب و عمودی سیال، c: توزیع جریان در مبدل‌های صفحه‌ای

در عدد رینولدز مساوی ۲۱۰۰ توسعه یافته می‌شود در حالی که در جریان درون کانال‌ها، طبق هندسه کانال، در عدد رینولدز معادل ۱۰-۴۰۰ آشتفتگی به وجود می‌آید [۱].

- امکان تشکیل رسوپ برای مبدل‌های صفحه‌ای نسبت به پوسته و لوله کمتر است. دلیل این امر جریان آشفته بالا و در نتیجه زمان اقامت کوتاه است، چون در کانال‌ها محدوده راکد وجود ندارد.
- انعطاف‌پذیری مبدل بسیار زیاد است و برای کاربردهای مختلف، طراحی‌های متفاوت موجود است. برای تغییر سیستم به سرعت می‌توان با کم یا زیاد کردن تعداد صفحات ترکیب جدیدی به وجود آورد.
- فقط گوشه صفحات با هوای آزاد در ارتباط است، بنابراین بدون نیاز به عایق کاری اتلاف حرارتی بسیار ناچیز است.
- صفحات، شوک‌های حرارتی را تحمل می‌کنند و بدون لغزش خواهند بود.
- این مبدل‌ها عملدها در صنایع غذائی و داروئی استفاده می‌شوند اما در صنایع پتروشیمی و شیمیائی هم روز به روز در حال گسترش هستند.

#### توسعه یک شاخص عملکرد برای انتخاب سطح بهینه

به دلیل محدوده وسیع مبدل‌های حرارتی و این که هر کدام از لحظه افت فشار و انتقال حرارت دارای ویژگی‌های خاص مربوط به خود می‌باشند، "شاخص‌های عملکردی"

مورب یا عمودی باشد. در حالت مورب، ورود و خروج سیال از دو گوشه مخالف هم انجام می‌شود، در حالی که در جریان عمودی، ورود و خروج سیال از دو گوشه در یک سمت صفحه روی می‌دهد، شکل (b1). توزیع جریان در مبدل‌های صفحه‌ای به شکل U یا Z می‌باشد شکل (c1). در حالت U، جریان یکنواخت‌تری نسبت به حالت Z به وجود می‌آید. در حالت U که هر چهار دهانه روی یک صفحه ثابت قرار می‌گیرند، بازرسی، تعمیر و نگهداری و لوله‌کشی مبدل به هیچ وجه مشکل نخواهیم داشت.

وقتی در مورد ساختاری نظیر مبدل‌های قاب و صفحه‌ای بحث می‌شود، مهندسان ناچار به مقایسه آن‌ها با مبدل‌های پوسته و لوله که به طور متداولی در صنعت به کار گرفته می‌شوند، می‌باشند. به طور کلی می‌توان گفت مبدل‌های قاب و صفحه‌ای زمانی مورد استفاده قرار می‌گیرند که:

الف) فشار طراحی کمتر از ۳۰ bar باشد.

ب) دمای طراحی کمتر از ۱۸۰°C باشد.

ج) خلاء، زیاد بالا نباشد.

د) حجم گاز یا بخار در فشار پائین، متعادل باشد. مزایای استفاده از این نوع مبدل‌ها را می‌توان به صورت زیر خلاصه نمود:

- ضرایب انتقال حرارت بالا برای هر دو سیال. این موضوع ناشی از جریان آشفته ایجاد شده توسط شیارهای صفحات و کوچکی قطر معادل است. آشتفتگی درون لوله

است، بنابراین افزایش انتقال حرارت به قیمت افزایش افت فشار تمام خواهد شد که در این صورت از جاذبه به کارگیری این فن آوری در عمل خواهد کاست.

۵ - شاخص دیگری توسط واکر<sup>۱</sup> و همکارانش [۶] و همین طور پلی<sup>۲</sup> و همکارانش [۷] معرفی شده است. این شاخص نسبت  $\frac{St^3}{f}$  می‌باشد. به دست آمدن مقادیر یکسان از این نسبت برای موارد مختلف، در واقع به میزان سطح حرارتی یکسان به ازای یک مقدار مشخص از افت فشار اشاره دارد. بین این نسبت با میزان سطح حرارتی مورد نیاز، یک رابطه معکوس وجود دارد. به طوری که نسبت بالاتر به سطح انتقال حرارت کمتری نیاز دارد. در این تحلیل پلی و همکارانش فرض کردند که هیچ‌گونه تاثیر و تداخلی میان مقاومت‌های حرارتی داخل و خارج لوله‌های مبدل وجود ندارد، حال آنکه چنین فرضی در عمل امکان‌پذیر نبوده و بنابراین انجام اصلاحات روی این شاخص الزامی به نظر می‌رسد.

۶ - جعفری نصر و همکارانش شاخص دیگری که به آسانی قابلیت به کارگیری دارد، ارائه کرده‌اند. در این شاخص اثرات تداخل سایر مقاومت‌های حرارتی بر روی ضریب انتقال حرارت در لوله‌ها، به خوبی در نظر گرفته شده است و در واقع همان اصلاح شاخص شماره ۵ می‌باشد، که توسط پلی و همکارانش ارائه شده بود [۸ و ۹]. در مطالعات سایر محققین، از اثرات تداخل مقاومت‌های حرارتی صرفه‌نظر شده بود. در صورتی که در شاخص ارائه شده، اثرات حضور و میزان مقاومت‌های حرارتی چه در لوله‌های ساده و چه در لوله‌های پر شده با وسائل افزاینده انتقال حرارت در نظر گرفته شده است. این شاخص اصلاح شده به صورت معادله (۱) می‌باشد:

$$\left( \frac{1}{1+R_{opp}} \right)^{1.5} \sqrt{\frac{St^3}{f}} \quad (1)$$

۷ - شاخص عملکرد حجم (VPI)، شاخص دیگری است که توسط نونز<sup>۴</sup> و پلی [۱۰] برای انتخاب سطح

مقایسه ساده‌تر و عملی‌تر را امکان‌پذیر می‌سازد. تاکنون شاخص‌های متعددی ارائه شده است که در اینجا به طور فشرده معرفی بر آن‌ها صورت می‌پذیرد:

۱ - به منظور ارزیابی روش‌های مختلف افزایش انتقال حرارت، وب<sup>۱</sup> شاخصی را ارائه کرده است که در آن عوامل تعیین کننده، نسبت‌های سطوح  $\frac{A_e}{A_s}$ ، قدرت سطح  $\frac{P_e}{P_s}$  و بار حرارتی  $\frac{UA_e}{UA_s}$  می‌باشند [۲]. دو عامل اول، به عنوان عوامل محدود کننده و سومی به عنوان تابع هدف، در نظر گرفته می‌شود.

۲ - شاخص بعدی تعیین نسبت  $\frac{j}{f}$  است. که مورد تائید بسیاری از محققین می‌باشد. این نسبت برای مبدل‌های با لوله‌های ساده و پرشده، محاسبه و حاصل آن مورد مقایسه و ارزیابی قرار می‌گیرد. برای مثال کومار<sup>۲</sup>، نسبت  $\frac{j}{f}$  را براساس مقادیر مختلفی از اعداد رینولدز، برای مبدل‌های مختلف رسم کرده است [۳]. برای نوع خاصی از وسائل افزاینده انتقال حرارت، نسبت فوق پائین‌تر از منحنی‌های مربوط به لوله‌های ساده قرار گیرد، این نمونه از نظر میزان انتقال حرارت به واحد افت فشار، نسبت به مبدل‌هایی با لوله‌های ساده هیچ مزیتی نخواهد داشت. این تحلیل را در مورد سطوح فشرده انتقال حرارت هم می‌توان به کار برد.

۳ - از شاخص‌های دیگر، نسبت  $\frac{j}{j_s}$  در برابر عدد رینولدز است. در این شاخص مقدار  $\frac{j}{j_s}$  در همان اعداد رینولدز محاسبه می‌شود. چون مقدار ضریب اصطکاک در یک سطح بهبود یافته بیشتر از مقدار آن در یک سطح صاف (در همان سرعت) است، بنابراین این روش مقدار انتقال حرارت واقعی را نشان نداده و بکار بردن آن نیز توصیه نمی‌شود [۴].

۴ - اسمیت<sup>۳</sup> و همکارانش نسبت  $\frac{St}{f}$  را به عنوان شاخص ارزیابی معرفی نموده [۵] و نسبت فوق را با تغییرات عدد رینولدز در مقایس لگاریتمی رسم کرده‌اند. این محققین نیز نتیجه گرفتند که چون نسبت افزایش ضریب اصطکاک در لوله‌های پر شده بالاتر از نسبت افزایش ضریب انتقال حرارت در مقایسه با لوله‌های ساده

4. Walker

5. Polly

6. Nunez

1. Webb

2. Kumar

3. Smith

منحنی‌ها میزان انتقال حرارت و افت فشار بر حسب عکس عدد رینولذز رسم شده است (شکل ۲). همان‌طور که در این منحنی‌ها هم نشان داده شده است، کاهش عدد رینولذز در زاویه‌های چورون مختلف، میزان انتقال حرارت بیشتر را، که افزایش زمان تماس بین دو سیال می‌تواند توجیه مناسبی برای آن باشد، نتیجه می‌دهد. ولی باید توجه کرد که در عدد رینولذز سابق با افزایش زاویه چورون میزان انتقال حرارت زیاد و بنابراین سطح مورد نیاز کاهش خواهد یافت.

در این مقاله با در نظر گرفتن مقاومت ناشی از جرم گرفتگی بین صفحات مبدل، شاخص فوق اصلاح شده است:

$$j_{Focke} = \frac{d_e N TU \Pr^{2/3}}{4L} \quad (4)$$

$$NTU = \frac{4L}{d_e \Pr^{2/3}} j_{Focke} = \frac{UA}{C_{\min}} \quad (5)$$

$$j_{Focke} = \frac{UA d_e \Pr^{2/3}}{4LC_{\min}} \quad (6)$$

$$\text{اگر } U \text{ به صورت معادله (۶) تعریف شود:} \\ \frac{1}{U} = \frac{1}{\alpha} + R_{opp} \quad (7)$$

از ترکیب معادلات (۶) و (۷) نتیجه می‌شود:

ارائه شده است. به این ترتیب که هر چقدر این شاخص بزرگ‌تر باشد، حجم مبدل کوچک‌تر است و بر عکس. عدد استانتون و  $f$  توابعی از عدد رینولذز بوده و در نتیجه شاخص عملکرد حجم نیز تابعی از عدد رینولذز است. معادله (۲) این شاخص را نشان می‌دهد:

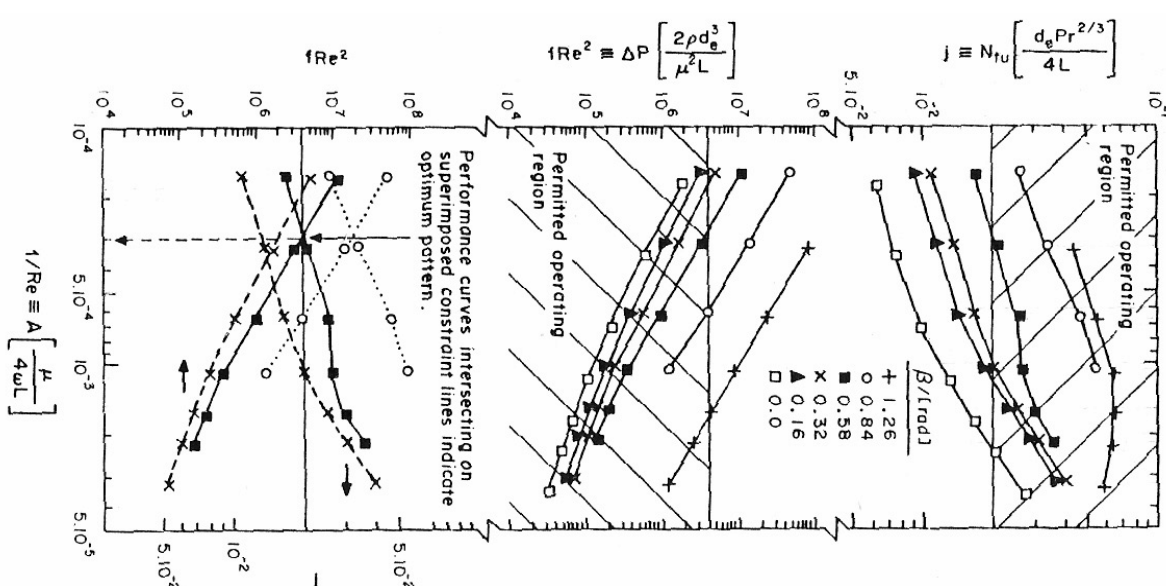
$$VPI = \frac{\left(\frac{St^3}{f}\right)^{\frac{1}{2}}}{d_h} \quad (2)$$

۸- جعفری نصر و همکارانش شاخص عملکرد حجم را اصلاح کرده [۱۱] و با در نظر گرفتن اثرات تداخل مقاومت‌های حرارتی (شامل مقاومت حرارتی، مقاومت ناشی از جرم گرفتگی‌ها، دیواره‌ها و غیره) که در VPI از آن‌ها صرفه‌نظر شده بود، شاخص را به صورت معادله ۳ اصلاح نمودند:

$$VPI = \left( \frac{1}{1 + R_{opp} \alpha} \right) \left( \frac{St^3 / f}{d_h} \right)^{1/2} \quad (3)$$

در رابطه فوق اثر حضور  $R_{opp}$  به خوبی دیده می‌شود و همان‌طور که مشاهده می‌شود با ازدیاد آن از میزان VPI کاسته می‌شود.

۹- فوک<sup>۱</sup> برای یافتن حداقل سطح مورد نیاز مبدل‌های قاب و صفحه‌ای منحنی‌هایی ارائه کرده است [۱۲]. در این

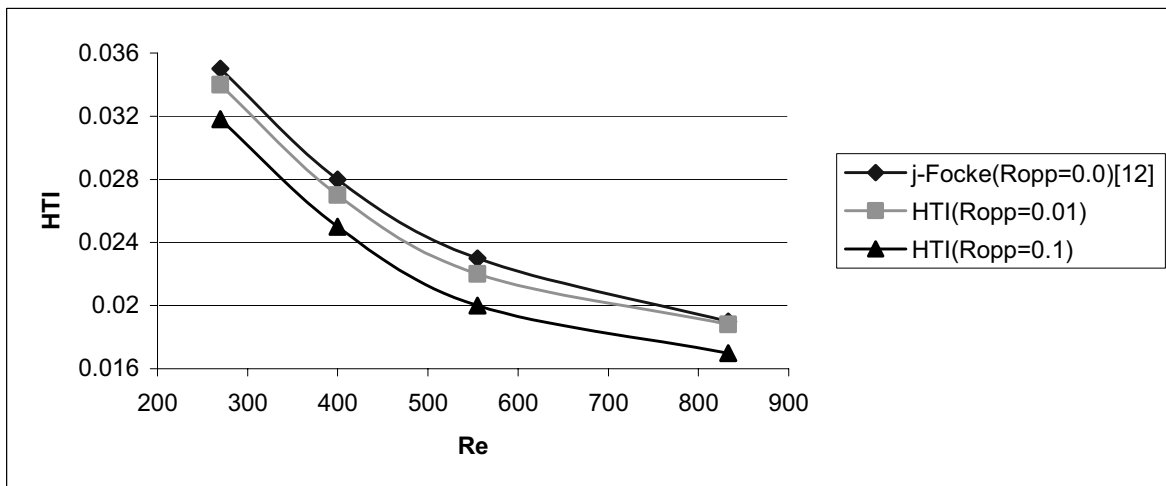


شکل ۲- منحنی شاخص عملکردی بهینه [۱۲]

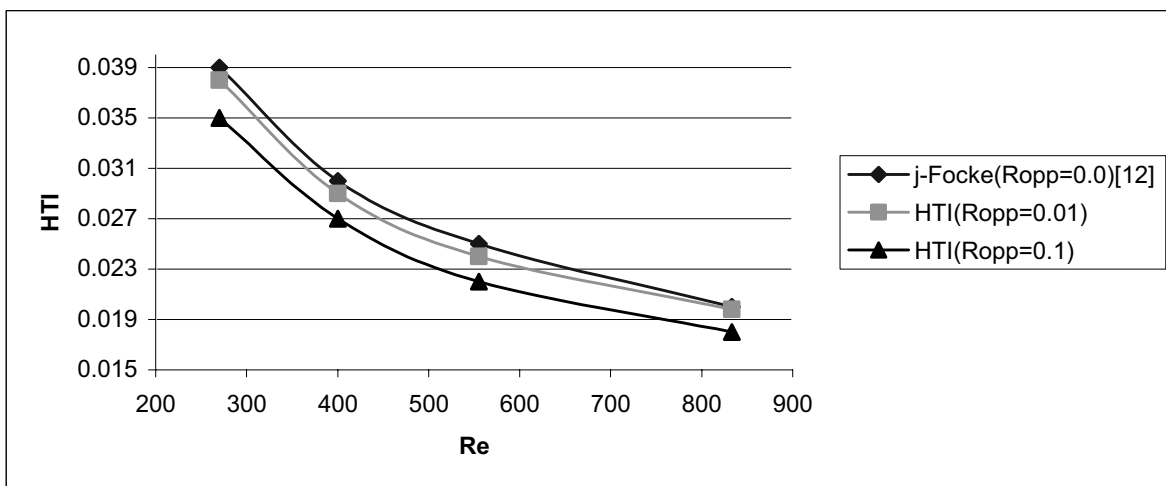
شاخص HTI با سطح رابطه مستقیم دارد و با توجه به شکل‌های (۳) و (۴) و (۵) در زوایای مختلف با زیاد شدن مقاومت ناشی از جرم گرفتگی، میزان انتقال حرارت کاهش و بنابراین سطح بیشتری برای انتقال حرارت مورد نیاز خواهد بود.

$$HTI = \frac{\left( \frac{1}{\frac{1}{\alpha} + R_{opp}} \right) Ad_e \Pr^{2/3}}{4LC_{min}} \quad (8)$$

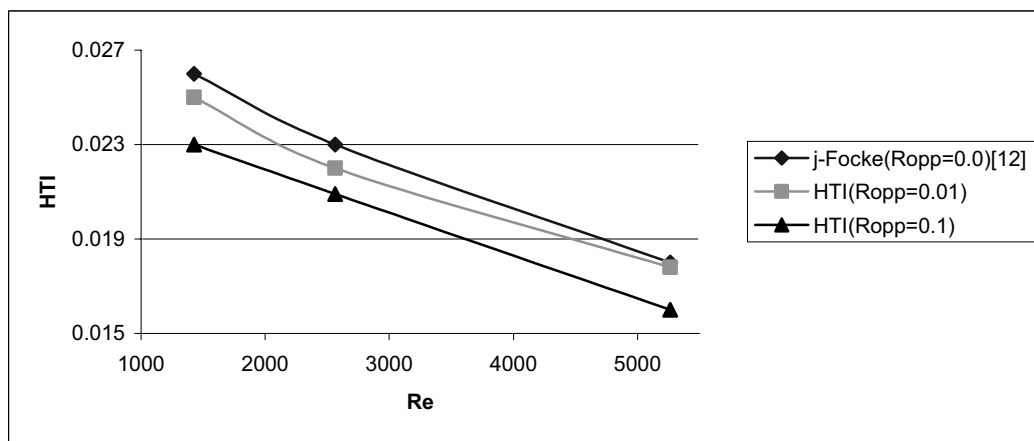
$$HTI = \frac{\left( \frac{1}{1 + \alpha R_{opp}} \right) \alpha Ad_e \Pr^{2/3}}{4LC_{min}} = \frac{1}{1 + \alpha R_{opp}} j_{Focke} \quad (9)$$



شکل ۳- تأثیر ضریب رسوب گرفتگی بر میزان سطح انتقال حرارت مورد نیاز



شکل ۴- تأثیر ضریب رسوب گرفتگی بر افزایش سطح انتقال در ۲۰ درجه



شکل ۵- تاثیر ضریب رسوب گرفتگی بر افزایش سطح انتقال در ۳۵ درجه

آنها فقط برای مدل‌های پوسته و لوله صادق بوده و برای مدل‌های دیگر باید معادلات جدیدی نوشته شود.

جیجد<sup>۰</sup> و پلی روابط عمومی افت فشار برای هر مدل حرارتی را تعریف کردند و ارتباط افت فشار را با سطح انتقال حرارت، دبی حجمی و سرعت سیال ارائه دادند[۱۶]. آنها همچنین نشان دادند افت فشار جریان با اندازه (سطح) مدل و سرعت (ضریب انتقال حرارت) جریان، افزایش می‌یابد. در روش طراحی RDA با توجه به این‌که حداقل افت فشار جریان به عنوان هدف در نظر گرفته می‌شود، سطح کمتری بدست آمده و کاهش سطح مدل نقش عمده‌ای در کاهش هزینه سرمایه گذاری خواهد داشت. این روش برای مدل‌های پوسته و لوله انجام گرفته است [۱۷] و در اینجا برای مدل‌های قاب و صفحه بررسی می‌شود:

هدف، محاسبه رابطه بین افت فشار و ضریب انتقال حرارت می‌باشد. برای این منظور ابتدا روابط افت فشار برای مدل‌های قاب و صفحه در نظر گرفته می‌شود [۱]. لازم به ذکر است چون افت فشار در دهانه مدل منجر به انتقال حرارت بین دو جریان سیال نمی‌شود، بنابراین برای محاسبات افت فشار مجاز فقط افت فشار کاتال در نظر گرفته می‌شود.

## طراحی مدل‌های قاب و صفحه به روش الگوریتم طراحی سریع

از نکات حائز اهمیت در طراحی مدل‌ها، انتخاب افت فشار بهینه است. افت فشار برای جریان‌ها از یک سیستم به سیستم دیگر در حال تغییر است و این تغییر ناشی از تاثیر متقابل جریان‌ها است. اهمیت بررسی افت فشار در طول مدل‌های حرارتی توسط محققان مختلف مورد بحث قرار گرفته است. مک آدامز<sup>۱</sup> از اولین کسانی است که با توجه به هزینه‌های جاری و هزینه‌های ثابت، روشی ساده برای تخمین سرعت جرمی بهینه در واحد گرمای انتقال برای هر دو سمت لوله ارائه کرده است [۱۳]. متأسفانه در روابط ارائه شده، تاثیر متقابل بخار و تاثیرات نیروهای مخالف در نظر گرفته نشده است. جنسون<sup>۲</sup> نیز تلاش‌های زیادی در زمینه ارائه روشی سریع و عمومی برای برآورد هزینه توان مصرفی در مدل‌های حرارتی صفحه‌ای انجام داده است [۱۴]. محدودیت‌های عملیاتی به وجود آمده به دلیل یکسانسازی ویژگی‌های جریان سیالات و یکی بودن هندسه سیستم مهم‌ترین نقاط ضعف روش وی بود. پیترز<sup>۳</sup> و تیمرهاؤس<sup>۴</sup> [۱۵] اهمیت بهینه سازی افت فشار در لوله و پوسته و سطح انتقال حرارت را به طور همزمان تشخیص داده و روش مناسبی ارائه کردند، ولی روش

1. Mc Adams

2. Jenssen

3. Peters

4. Timmershaus

مشخصات کلی آن و ابعاد مبدل وابسته است. این ثابت باید برای سیال گرم و سرد بطور جداگانه محاسبه شود.

$$Q = UA\Delta T_{lm} \quad (16)$$

$$U = \frac{1}{\frac{1}{\alpha_{ch,h}} + \frac{1}{\alpha_{ch,c}} + r_{fh} + r_{fc} + r_w} = \frac{Q}{A\Delta T_{lm}} \quad (17)$$

معادله فوق، معادله کلی انتقال حرارت در مبدل‌های حرارتی است که با جایگذاری در معادله (۱۴) و تعریف ثوابت  $K_3$  و  $K_4$  معادله (۱۸) نتیجه می‌شود:

$$K_1 A^{\frac{y}{2-z}} + K_2 A^{\frac{y}{2-z}} + K_3 A + K_4 = 0 \quad (18)$$

$$K_1 = \left[ \frac{K}{\Delta P} \right]_{HOT}^{\frac{y}{2-z}} \quad (18 - \text{الف})$$

$$K_2 = \left[ \frac{K}{\Delta P} \right]_{COLD}^{\frac{y}{2-z}} \quad (18 - \text{ب})$$

$$K_3 = \frac{\Delta T_{lm}}{Q} \quad (18 - \text{ج})$$

$$K_4 = r_{fh} + r_{fc} + r_w \quad (18 - \text{د})$$

معادله (۱۸) از روش‌های مختلف عددی از جمله نیوتن-رافسون قابل حل است و همان‌طور که ملاحظه می‌شود با حل این معادله سطح بهینه به روش بسیار ساده و عملی

$$\Delta P = \frac{4 \frac{K_p}{\text{Re}^z} L_{ch} \dot{m}_{ch}^2}{2 \rho \varphi d_e} \quad (10)$$

$$\Delta P = \frac{4 K_p L_{ch} \eta^2 \text{Re}^{2-z}}{\rho \varphi d_e^3} \quad (11)$$

اکنون به بررسی رابطه بین ضریب انتقال حرارت و عدد رینولدز پرداخته می‌شود:

$$\alpha_{ch} = \frac{C_h \text{Re}^y \lambda \text{Pr}^{0.33} \varphi}{d_e} \quad (12)$$

از ترکیب معادلات (۱۱) و (۱۲) و حذف عدد رینولدز معادله (۱۳) به دست می‌آید

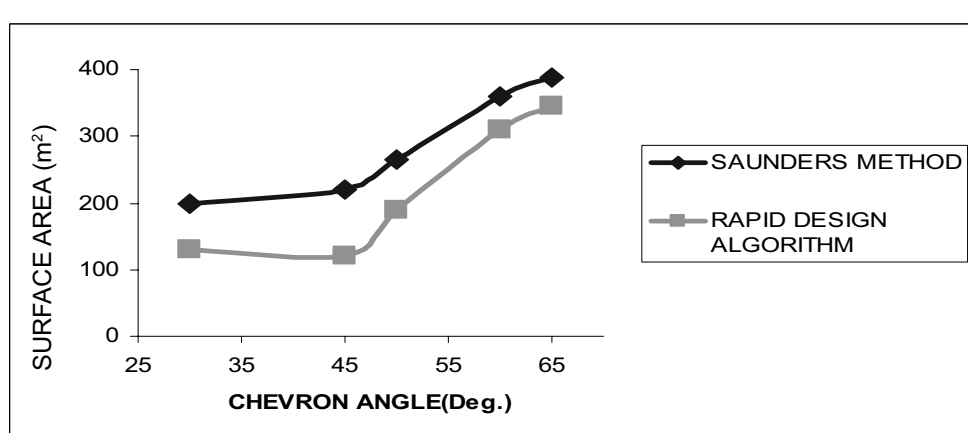
$$\Delta P = \frac{2 K_p A \eta^2}{N_c w \rho \varphi d_e^3} \left[ \frac{\alpha_{ch} d_e}{\varphi C_h \lambda \text{Pr}^{0.33}} \right]^{\frac{2-z}{y}} \quad (13)$$

اگر خواص سیال‌های درون مبدل ثابت و معلوم فرض شود معادله (۱۳) به شکل زیر ساده خواهد شد:

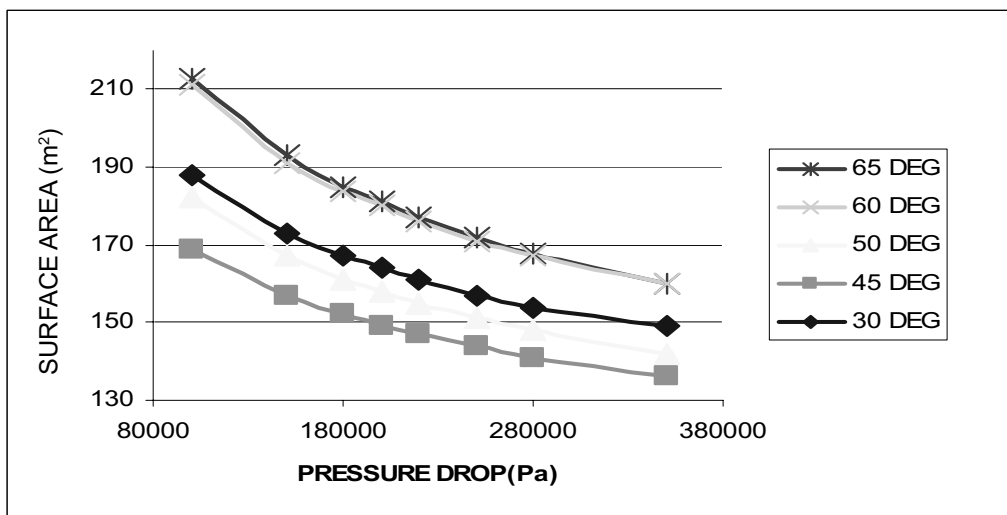
$$\Delta P = K A \alpha_{ch}^{\frac{2-z}{y}} \quad (14)$$

$$K = \frac{2 K_p \eta^2}{N_c w \rho \varphi d_e^3} \left[ \frac{d_e}{\varphi C_h \lambda \text{Pr}^{0.33}} \right]^{\frac{2-z}{y}} \quad (15)$$

$K$  یک ضریب ثابت است که به خواص فیزیکی سیال،



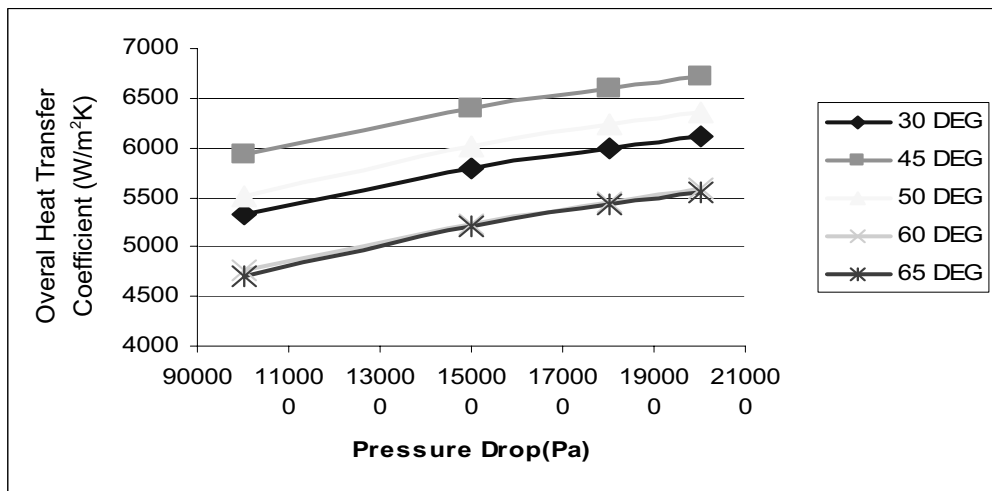
شکل ۶- مقایسه روش RDA و روش ساندرز [۱]



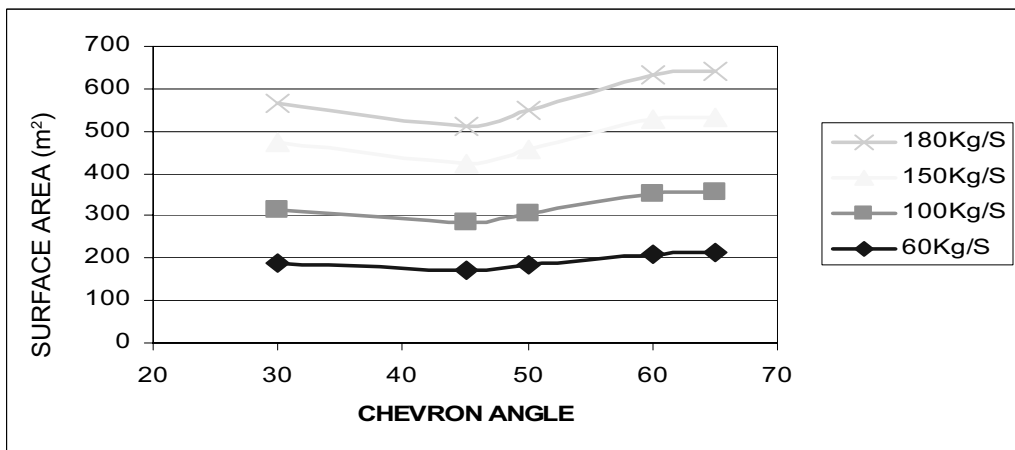
شکل ۷- تاثیر زاویه چورون بر سطح مورد نیاز انتقال حرارت در افت فشار ثابت

سایر بررسی های انجام شده برای این مبدل ها، در شکل های ۹ تا ۷ آورده شده است. همان طور که ملاحظه می شود سطح مورد نیاز برای مبدل در زاویه ۴۵ درجه نسبت به زوایای دیگر در افت فشار ثابت کمتر بوده و به تبع آن ضرایب انتقال حرارت در این زاویه از دیگر زوایا بیشتر می باشد. که این نتایج به ترتیب در شکل های (۷) و (۸) نشان داده شده است.

در اختیار ما قرار خواهد گرفت. این معادله، نتایج جالب توجهی را ارائه می دهد، این نتایج در شکل (۶) نشان داده شده است. مقایسه دو روش ساندرز و روش RDA حاکی از سطح بهینه در زاویه چورون ۴۵ درجه است. نتایج مشابه در مراجع دیگر مبین صحت و دقیقی روش RDA نسبت به روش های متداول طراحی از جمله روش ساندرز می باشد.



شکل ۸- تاثیر زاویه چورون بر ضرایب انتقال حرارت در افت فشار ثابت



شکل ۹- تاثیر دبی سیال در زوایای مختلف چورون

جهات مخالفشان بر یکدیگر اثر کند کننده دارند. مطالعات نشان می‌دهد، روی صفحاتی با زاویه ۴۵ درجه، جریان سیال در طول شیار، روی هرسمت گذر ازیک لبه تا لبه دیگر و جریان‌های متقابل سیال در طول شیار، حرکت ثانویه گردابه‌ها را موجب می‌شوند. جالب توجه است که حالت فوق نشان دهنده افزایش انتقال حرارت فرایندی است. برای جریان در طول کوتاهی از مسیر با توجه به شرایط محدوده‌کننده ورودی، لایه‌های مرزی توسعه یافته قابل پیش‌بینی است. در این شرایط، در قسمت‌های بالایی شیار نرخ انتقال حرارت بالا، انتظار می‌رود. حال آنکه حرکت گردابه‌ها با نیروی کافی منجر به نرخ انتقال حرارت یکنواخت در عرض صفحه خواهد شد.

از نکات جالب توجه دیگر تاثیر دبی جریان بر زاویه چورون است، که در شکل(۹) نشان داده شده است. با افزایش دبی جریان تاثیر زاویه چورون بیشتر محسوس خواهد بود. به این معنی که هر چه دبی سیال افزایش یابد، باید در تعیین اندازه زاویه چورون دقت بیشتری نمود. نتایج مشابه بدست آمده از مطالعات سایر محققین نیز، مبین صحت و دقت بالای روش RDA است. در تحقیقاتی که در سال ۱۹۸۳ با استفاده از تکنیک نفوذ صورت گرفت، نشان داده شد که نیروی محركه بوجود آوردن گردابه‌ها، در شیارها بوده و ناشی از سرعت حرکت اجزاء سیال در طول شیار است و مخالف جهت شیار و در جهت عمود بر آن حرکت می‌کند و نسبت آن به شکل زیر است :

### بحث و بررسی نتایج

همان‌طور که اشاره شد، سطح به دست آمده از روش RDA نسبت به روش‌های دیگر کوچک‌تر خواهد بود. این موضوع با استفاده از مقایسه برنامه‌های رایانه‌ای نیز اثبات شده، نتایج آن در شکل (۶) و در جدول (۱) آورده شده است. همان‌طور که ملاحظه می‌شود هر چه زاویه چورون بزرگ‌تر می‌شود اختلاف این دو روش نیز کمتر می‌شود و دو منحنی به یکدیگر نزدیک‌تر می‌شوند. کاهش افت فشار در زوایه‌های چورون بزرگ‌تر و تاثیر آن در کاهش

$$\bar{u}_c \sin(2\beta) = 2\bar{u}_c \sin(\beta) \cos(\beta) \quad (19)$$

همان‌طور که ملاحظه می‌شود رابطه (۱۹) زمانی ماقریم است که  $\beta = 45$  درجه باشد. برای زوایای کمتر از ۴۵ درجه، اثر متقابل بین جریان‌های سیال مثبت است. یعنی برای هر جریان عرضی، سرعت اجزاء در همان جهتی که جریان وجود دارد، تشدید کننده است. برای زوایای بیشتر از ۴۵ درجه، اثر متقابل بین جریان‌ها منفی است به طوری که جریان‌های عرضی به دلیل سرعت اجزاء در

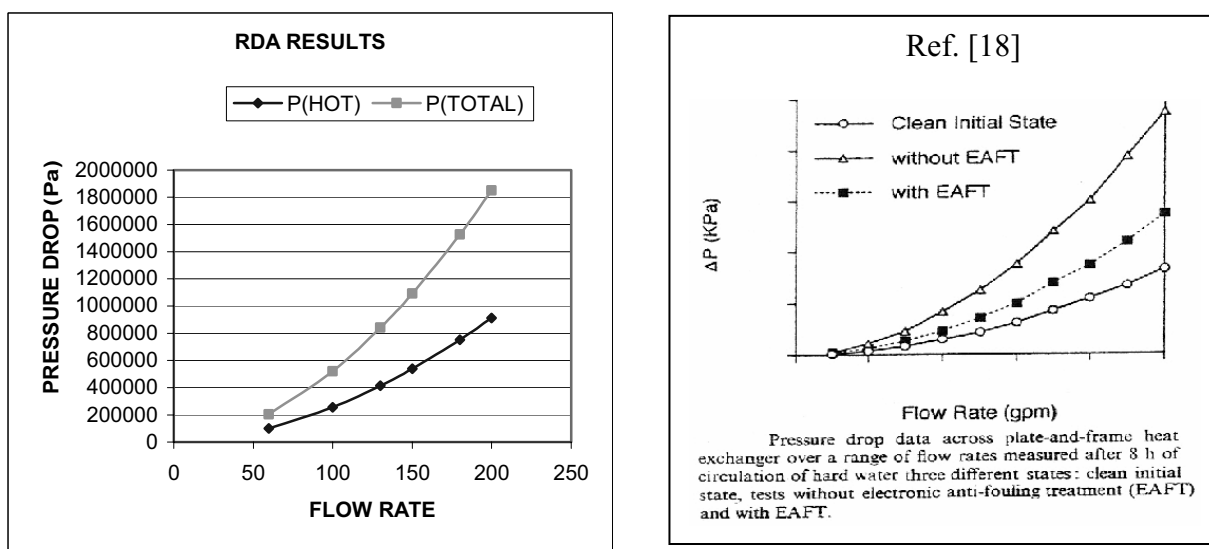
با مرجع [۱۸] انجام شده است و همان‌گونه که در شکل ۱۰ مشاهده می‌شود، روند مشابهی در هر دو شکل وجود دارد که نشان دهنده افزایش افت فشار با افزایش دبی است. (مقایسه این دو شکل به طور کیفی صورت گرفته و تصویر Ref. [18] از مرجع گرفته شده است).

ضرایب انتقال حرارت برای هر دو طرف، جریان‌های سرد و گرم، و نهایتاً نیاز به سطح انتقال حرارت بیشتر، به‌راحتی از رابطه توسعه داده شده ۱۴ قابل توجیه است.

همچنین برای اطمینان از صحبت نتایج حاصله و تصدیق برنامه کامپیوتری تهیه شده با استفاده از روش RDA، مقایسه‌ای

جدول ۱\_ مقایسه نتایج برنامه رایانه‌ای روش RDA و Saunders [۱] در زوایا و دبی‌های مختلف

تغییرات سطح مبدل ( $\text{m}^2$ ) با دبی ( $\text{kg/s}$ )					تغییرات سطح مبدل ( $\text{m}^2$ ) در زوایای مختلف (۰)					
۲۰۰	۱۱۹	۱۵۰	۱۰۰	۵۹	۶۵۰	۶۰۰	۵۰۰	۴۵۰	۳۰۰	
۱۱۷	۱۵۶	۱۶۸	۱۷۹	۲۲۰	۳۸۸	۳۶۰	۲۶۴	۲۲۰	۲۰۰	روش Saunders [۱]
۵۵	۸۳	۹۳	۱۰۳	۱۰۵	۳۴۵	۳۱۱	۱۹۰	۱۰۵	۱۲۹	



شکل ۱۰- مقایسه نتایج الگوریتم برنامه RDA با نتایج مرجع [۱۸]

### نتیجه‌گیری

نشان داده شده است که سطح با در نظر گرفتن ماکریم افت فشار مجاز، به‌دست آمد. این مهم با مقایسه نتایج نتایج به‌دست آمده توسط روش ساندرز، نیز اثبات شده است. اهمیت توسعه چنین معادلاتی در به‌کارگیری این نوع مبدل‌ها در طراحی شبکه مبدل‌های حرارتی یک فرایند، به کمک تکنولوژی پینچ است.

در این مطالعه شاخص جدیدی ارائه شده است. در این شاخص عملکرد مبدل‌های حرارتی با در نظر گرفتن تاثیرات مقاومت‌های حرارتی ارزیابی می‌شود. تاثیر این مقاومت‌ها می‌تواند در قضاوت انتخاب سطح بهینه توسط مهندسان طراح، قابل ملاحظه باشد.

همچنین روش طراحی سریع که قبل از مبدل‌های پوسته-لوله‌ای ارائه شده بود در اینجا برای مبدل‌های قاب و صفحه نیز توسعه داده شده است. در این روش

علایم و نشانه‌ها	
$u$ : سرعت حرکت اجزاء سیال در طول شیار	
$w$ : عرض صفحات مبدل	$A$ : سطح مورد نیاز برای مبدل ( $m^2$ )
$y$ : ثابت مبدل های حرارتی قاب و صفحه	$f$ : ضریب اصطکاک در لوله
$Z$ : ثابت مبدل های حرارتی قاب و صفحه	$\zeta$ : فاکتور حرارتی کلبوون
$C_{min}$ : نرخ ظرفیت سیال	$K_p$ : ثابت مبدل های حرارتی قاب و صفحه
$C_h$ : ثابت مبدل های حرارتی قاب و صفحه	$L_{ch}$ : طول کanal
$\Delta P$ : افت فشار (Pa)	$\dot{m}_{ch}$ : سرعت سیال در کanal ( $m/s$ )
$\Delta T_{lm}$ : اختلاف درجه حرارت متوسط لگاریتمی	$N_c$ : تعداد کanal‌ها
$d_h$ : قطر هیدرولیک	$NTU$ : تعداد واحد انتقال
علایم یونانی	$Pr$ : عدد پرنتل
$\alpha$ : ضریب انتقال حرارت	$Q$ : بار حرارتی (j)
$\beta$ : زاویه شیار	$R_{opp}$ : مقاومت حرارتی
$\eta$ : ویسکوزیته (Kg/ms)	$Re$ : عدد رینولدز
$\varphi$ : ضریب تصحیح ویسکوزیته	$St$ : عدد استانتون
$\lambda$ : هدایت حرارتی سیال	$T$ : دما (K)
$\rho$ : دانسیته (Kg/m³)	$U$ : ضریب کلی انتقال حرارت ( $W/m^2K$ )

## منابع

- [1] E.A.D. Saunders, Heat Exchanger: *Selection, Design and Construction*, Longman Scientific & Technical, 2002.
- [2] R.L. Webb, J. Int. *Heat Transfer*, vol.24, 1981.
- [3] P.B.E. Kumar, *Heat Transfer in Vertical Tubes With Coiled Wire Turbulence Promoters*, M.Sc. Thesis, Dept. of Mech. Eng, Mc Master University 1968.
- [4] M.J. Gough, J.V. Rogers, C.M.B. Russel, HTFS RS 417, 123-134, 1982.
- [5] J.W. Smith, R.A. Geowen, M.E. Charles, chem. Eng. Sci., 23, 751-758, 1968.
- [6] V. Walker, D. Wilkie, *The Wider Application of Roughened Surfaces as Developed for Advanced Gas Cooled Reactors, Symp. On High Pressure Gas as a Heat Transport Medium*, IMechE, London10 March, paper 26, 1967.
- [7] G.T. Polley, Dominique, *Optimal Tube Bundle Geometries*, Proceedings of 10th Int. Heat Transfer Conf., Brighton, IChemE, 1994.
- [8] M.R. Jafari Nasr, A.T. Zoghi, H.R. khakdaman, *Performance Evaluation of Heat Transfer Enhancement in Heat Exchanger Design*, Thghigh, No. 43, 2002.
- [9] M.R. Jafari Nasr, G.T. Polley, A.T. Zoghi, *Performance Evaluation of Heat Transfer Enhancement* presented at Int. Congress of Chem.Eng., CHISA, Prague, 2002.

- [10] M. Nunez, G.T. Polley, E. Reyes, A. Munoz, *Surface Selection and Design of Plate-Fin Exchangers, Applied Thermal Engineering*, 917-931, 1999.
- [11] M.R. Jafari Nasr, A. Kalantari, *Selection of Surface and Design of Plate-Fin Heat exchangers Using Rapid Design Algorithm*, Petrochemical Research & Technology (NPC\_RT), Presented at Iranian Chem.Eng. Conference, ICheC10, Zahedan, 2005 and in Press.
- [12] W.W. Focke, *Selection Optimum Plate Heat Exchanger Surface Pattern*, J. Heat Transfer, vol.108, 153, 1986.
- [13] W.H. McAdams, *Heat Transmission*, (McGraw Hill, New York) 430-441, 1954.
- [14] S.K. Jenssen, *Heat Exchanger Optimization*, Chem. Eng. Prog , 65(7)59, 1969.
- [15] M.S. Peters, K.D. Timmerhaus, *Plant Design and Economics for Chemical Engineering*, 3rd Ed (Mc Grow Hill, New York) 678-696, 1981.
- [16] F.O. Jegede , G.T. Polley, *Optimum Heat Exchanger Design*, Trans IChemE, vol 70, part A, March (1992).
- [17] G.T. Polley, M.H. Panjeshahi, M. Picon Nunez, *Rapid Design Algorithm for Shell and Tube and Compact Heat Exchangers*, Trans. IChemE, vol .69, Part A, Nov, 1991.
- [18] I. Young. Cho, Byung Gap Choi, J. Bennat Dranzer, *Electronic Anti-Fouling Technology to Mitigate Precipitation Fouling in Plate and Frame Heat Exchangers*, Int. J. Heat Mass Transfer, vol. 41, No.17, pp.2565-2571, 1998.
- [18] F.P. Berger, A. Ziai, *Optimization of Experimental Conditions for Electrochemical Mass Transfer Measurements*, Chem. Eng. Res. Dev., pp.377-382, 1983.
- [19] *International Mathematical and Statistical Libraries*, Program TWODEPEP, 5th Edn, IMSLTDP-0005, Houston, Texas, 1983.